

# 단원자 증착법으로 증착한 $\text{AlO}_x/\text{HfO}_y$ 박막에서의 $\text{AlO}_x$ 산화제에 따른 특성 변화

조문주, 박홍배, 박재후, 이석우, 황철성, 정재학\*

서울대학교 재료공학부 유전박막실험실, 에버테크\*

## Comparison of $\text{AlO}_x$ barriers oxidized with $\text{H}_2\text{O}$ , $\text{O}_2$ plasma or $\text{O}_3$ in Atomic Layer Deposited $\text{AlO}_x/\text{HfO}_y$ stacks

Moonju Cho, Hong Bae Park, Jaehoo Park, Suk Woo Lee, Cheol Seong Hwang and Jaehack Jeong\*  
Seoul National Univ., Ever-tek\*

### Abstract

최근 logic 소자의 gate oxide로 기존의  $\text{SiO}_2$ ,  $\text{SiON}$ 보다 고유전, 작은 누설전류를 가지는 물질의 개발이 중요한 이슈가 되고 있다. 본 실험실에서는 Si 기판위에  $\text{HfO}_2$ 를 바로 증착하는 경우, 기판의 Si이 박막내로 확산하여 유전율이 저하되는 문제점을 인식하고, 기판과  $\text{HfO}_2$  사이에  $\text{AlO}_x$ 를 방지막으로 사용하였다. 이 때,  $\text{AlO}_x$ 의 Al precursor는 TMA로 고정하고, 산화제로는

$\text{H}_2\text{O}$ ,  $\text{O}_2$ -plasma,  $\text{O}_3$ 를 각각 사용하였다.

모든  $\text{AlO}_x/\text{HfO}_y$  박막에서 매우 우수한 누설전류특성을 얻을 수 있었는데, 특히  $\text{O}_3$ 를 산화제로 사용한  $\text{AlO}_x$ 방지막의 경우 가장 우수한 특성을 보였다. 또한 질소 분위기에서  $800^\circ\text{C}$  10분간 열처리한 후, 방지막을 사용한 모든 경우에서 보다 향상된 열적 안정성을 관찰할 수 있었다.

**Key Words** :  $\text{HfO}_2$ ,  $\text{Al}_2\text{O}_3$ , gate oxide

### 1. 서론

Gate dielectric 용  $\text{HfO}_2$ 를  $\text{HfCl}_4$ 와  $\text{H}_2\text{O}$ 를 이용하여 Atomic Layer Deposition (ALD) 방법으로 증착하였다. 이전의 실험에서  $300^\circ\text{C}$ 에서 Si 기판위에 바로  $\text{HfO}_2$  박막을 증착한 경우에는 silicate의 확산으로 인하여 기대치(25-30)보다 낮은 유전율을 가진 박막이 형성되었다. 따라서 기판 Si과 증착되는  $\text{HfO}_2$  박막의 반응을 막기 위하여 ALD- $\text{Al}_2\text{O}_3$  과 barrier를 사용하게 되었다.

$\text{Al}_2\text{O}_3$ 의 metal precursor는 TMA를 사용했고, 산화제는  $\text{H}_2\text{O}$ ,  $\text{O}_2$ -plasma,  $\text{O}_3$ 를 사용하여 그 특성을 비교해보았다.

### 2. 실험 방법

기판은 p-type (100) Si 기판을 사용하였고, 증착 전에 HF를 이용하여 native oxide를 제거하였

다. 증착된  $\text{HfO}_2$  박막을 HRTEM을 통해 관찰하였고, e-beam을 이용하여 Pt 전극을 증착하여 MIS 구조에서의 유전율과 누설전류 특성을 관찰하였다.

열처리는 상부전극을 증착하기 전과 후에 각각 실시하였다. 전열처리는 비정질의  $\text{HfO}_2$  박막을 결정화시키고, 박막내 남아있을 미분해물의 제거를 목표로 하여 비교적 고온(대개  $800^\circ\text{C}$ )에서 실시하였고, 후열처리는 상부전극을 증착할 때 발생하는 damage를 제거하는데 중점을 두어  $400^\circ\text{C}$ 에서 주로 실시하였다.

### 3. 실험 결과와 결론

그림 1은 다양한  $\text{Al}_2\text{O}_3$  barrier를 사용한  $\text{HfO}_2/\text{Al}_2\text{O}_3/\text{Si}$  stack의 CET 변화를 나타낸 것이다.

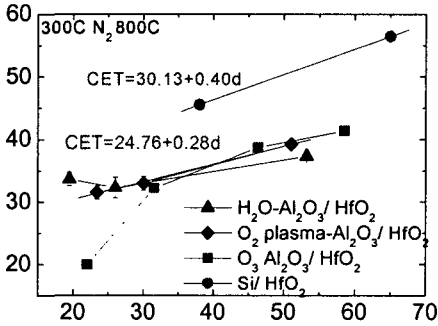
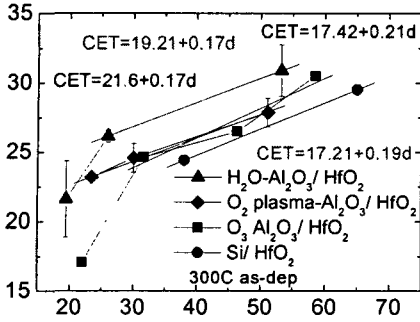


그림 1. CET of (a) as-deposited, (b) after annealed at 800°C in N<sub>2</sub> atmosphere.

Al<sub>2</sub>O<sub>3</sub> 방지막을 사용한 경우 열처리 후의 CET의 증가폭이 작은 것으로 보아 열적 안정성이 우수하다는 것을 알 수 있다. 그러나 방지막의 산화제에 따른 차이는 볼 수 없었다. 그러나 flat band voltage 변화를 보면 (그림 2), O<sub>3</sub>를 산화제로 사용한 경우 as-dep. 에서부터 박막내에 negative fixed charge가 많다는 것을 알 수 있는데, 이는 보다 stoichiometry가 맞는 Al<sub>2</sub>O<sub>3</sub> 박막이 형성되었다는 것을 나타낸다고 생각된다. 따라서 박막내에 defect가 적고, 이는 low hysteresis(그림 3), 누설 전류(그림 5) 특성을 나타내는 하나의 원인이 된다고 생각된다.

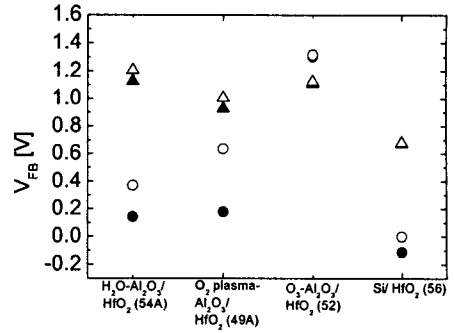


그림 2. Flat band voltage shift comparison in variable oxident - Al<sub>2</sub>O<sub>3</sub> / HfO<sub>2</sub> stack.

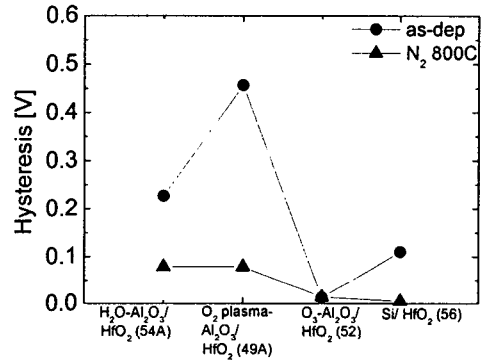


그림 3. Hysteresis comparison in variable oxident - Al<sub>2</sub>O<sub>3</sub> / HfO<sub>2</sub> stack.

그림 4는 HfO<sub>2</sub>/ O<sub>3</sub>-Al<sub>2</sub>O<sub>3</sub>/ Si stack의 flat band voltage data를 HfO<sub>2</sub> 두께에 따라 나타낸 것이다. T. Hori<sup>1)</sup>에 의하면, 박막내의 fixed charge가 계면 가까이 sheet 형태로 존재한다면 다음과 같은 식을 얻을 수 있다.

$$V_{FB} = \phi_{ms} - \frac{qN_f}{\epsilon_i} d$$

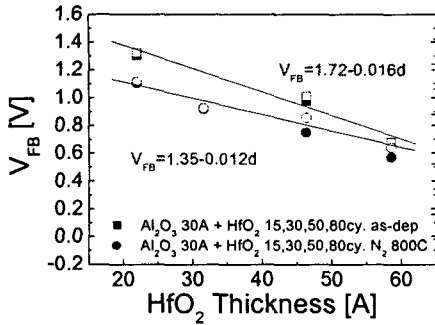


그림 4. Flat band voltage due to the HfO<sub>2</sub> thickness of the Si/ O<sub>3</sub>-AlO<sub>x</sub>/ HfO<sub>2</sub> stack.

여기에서 HfO<sub>2</sub>와 Al<sub>2</sub>O<sub>3</sub> 사이의 fixed charge는 Q<sub>HfO</sub>, Al<sub>2</sub>O<sub>3</sub>와 증착 과정에서 얇게 생성될 것이라 생각되는 SiO<sub>x</sub> 층 사이에서의 fixed charge는 Q<sub>AlO</sub>, SiO<sub>x</sub>/ Si의 charge는 대개 10<sup>10</sup> /cm<sup>2</sup>의 order<sup>2)</sup>로 비교적 작은 값이라 제한한다고 하면, 다음과 같은 식을 유도할 수 있다.

$$V_{FB} = \phi_{ms} - \frac{q}{\epsilon_o \cdot k_{AlO}} \left[ Q_{AlO} \cdot d_{AlO} + (Q_{AlO} + Q_{HfO}) \frac{k_{AlO}}{k_{HfO}} d_{(HfO)} \right]$$

Work function mismatch를 0.6V, k<sub>HfO</sub>는 20.5, k<sub>AlO</sub>는 4.5로 넣고 계산하면 Q<sub>HfO</sub>는 mid×10<sup>13</sup> /cm<sup>2</sup>, Q<sub>AlO</sub>는 -high×10<sup>13</sup> /cm<sup>2</sup>의 값을 얻을 수 있었다. 따라서 앞으로 박막내의 fixed charge를 줄이는 연구가 필요하다.

그림 5는 누설 전류 특성인데, Al<sub>2</sub>O<sub>3</sub> 방지막을 사용하면 누설 전류가 향상되었고, 특히 O<sub>3</sub>-Al<sub>2</sub>O<sub>3</sub> 방지막의 효과가 탁월하였다.

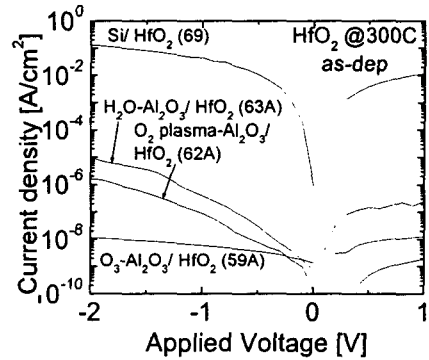


그림 5. Leakage current density of the stacks in as-deposited state.

### 참고 문헌

- [1] Takashi Hori, Gate Dielectrics and MOS ULSIs, p. 34 (Springer, Berlin), 1997.
- [2] R. S. Johnson, G. Lucovsky, I. Baumvol, Physical and electrical properties of noncrystalline Al<sub>2</sub>O<sub>3</sub> prepared by remote plasma enhanced chemical vapor deposition, J. Vac. Sci. Technol. A, 19, 1353, 2001.